

Mg₂Cu 수소저장합금의 thermal cycling 효과에 관한 연구

한정섭

동아대학교 공과대학 해양공학과

A Study on the Thermal Cycling Effect on the Hydrogenation Kinetics of Mg₂Cu

Jeong-Seb Han

Dept. of Ocean Engineering, Dong-A University, Pusan

Abstract: The effect of thermal cycling on the hydrogenation characteristics of the Mg₂Cu-H system was investigated in order to study of intrinsic degradation of the system.

The hydrogen storage capacity decreased with thermal cycling from 573°K to 663°K. By the thermal analysis it is found that stable MgH₂ hydride is formed during thermal cycling. With a heat treatment at 693°K at a hydrogen pressure of 16 atm, the hydrogenation rate drastically decreased. From these observation, it is suggested that the intrinsic degradation of Mg₂Cu system results from mainly the formation of stable MgH₂ hydride phase.

1. 서 론

지난 73, 79년 두차례에 걸친 오일쇼크로 말미암아 사람들은 대체에너지의 개발에 힘쓰게 되었고 최근의 중동사태로 말미암아 더욱 연구가 가속화되고 있는 실정이다. 그 대체에너지중의 하나는 수소인데 수소에너지를 실용화하는데 있어서 중요한 문제중의 하나는 수소를 어떻게 저장하고 운반하느냐 하는 것이다.

수소저장법에는 여러가지가 있으나 금속수소화물 (Metal Hydride)로 저장하는 것이 다른 저장법에 비해 단위체적당 가장많이 수소를 저장할 수 있을뿐만 아니라 안전하다는 장점을 가지고 있다. 그러나 어떤 금속이 수소저장합금으로 사용되기위해서는 여러가지 조건이 구비되어야 한다. 그 조건들 중에서도 수소저장합금이 수소를 반복해서 흡수, 방출 하라도 그 저장특성이 크게 degradation 되지 않는 것이 매우중요한 조건이라 하겠다. 실제 많은

합금들에게서 이러한 현상을 나타내고 있다. 그때 문에 최근의 많은 연구는 이 현상을 연구하는데 집중 되어있다.¹⁻⁴⁾

수소저장 특성이 degradation 되는정도는 합금에 따라 다르며 수소의 흡수, 방출되는 조건에 따라 다르다. Degradation 이 불순가스에 의해 일어나는 경우 이를 extrinsic degradation 이라하며, 재료자체의 성질저화로 일어나는 경우 이를 intrinsic degradation 이라 한다.

아직까지 intrinsic degradation 에 대한 확립된 설은 없다. Cohen 등은 ⁴⁻⁵⁾ Hydride 를 형성하는 요소들이 안정한 상을 형성하기때문이라고 주장하고 있다. Degradation 은 수소가 흡수, 방출되는 동안 미세한 상(Phase) 분리가 일어나서 또한 Goodell⁷⁾은, 수소의 흡수, 방출 cycle 의 증가에 따라 hydride 를 형성하는 원소와 천이원소들이 서로 자리바꿈함으로써 수소가 위치할 interstitial site 의 주위환경 등이 변하여 실질적인 수소저장능력의

한정섭

감소가 있기 때문이라고 주장하고 있다. 그러나 이러한 주장들은 저온에서 반응하는 LaNi₅를 조사한 결과이다. 한 과 이⁸⁾는 고온에서 반응하는 Mg₂Ni를 조사함으로서 Mg₂Ni 계에서는 degradation은 입자간의 coalescence와 표면 확산으로 말미암아 표면 적감소등의 표면 상태 변화로 인한 반응 속도의 감소 현상으로 설명하였다. 이와 같이 degradation은 합금의 종류에 따라 다를 수 있다. 그런데 Mg₂Cu는 고온에서 반응할뿐 아니라 다음식과 같이 수소와 반응한다.⁹⁾



즉 Mg₂Cu는 LaNi₅의 degradation처럼 상분리가 일어나면서 수소화 반응이 일어나고 분해시는 degradation과 다르게 원래대로 돌아가는 것을 알 수 있다. 이러한 반응을 보이는 Mg₂Cu의 degradation에 관한 연구는 지금까지 보고된 것이 없다.

그러므로 본 연구에서는 Mg₂Cu를 thermal cycling 함으로써 Mg₂Cu의 intrinsic degradation 거동을 살펴보고 지금까지 제시된 모델들과 비교검토하고자 한다. 또한 열분석법을 이용하여 cycle 후에 안정된 상이 있는지 조사하고자 한다.

2. 실험방법

본 실험에 사용된 Mg₂Cu는 Mg와 Cu를 유도로에서 녹여 금속간화합물로 만들었다. Mg의 산소 친화력이 크고 포화증기압이 크기 때문에 알루미늄튜브에 금속들을 넣은 다음 그것을 석영관에 다시 넣어 10⁻³Torr 정도의 진공으로 만든 다음 밀봉하여 합금시켰다. 제조된 합금이 Mg₂Cu 단상을 나타내는지 알기 위해서 X-선 회절 패턴을 조사하였다. 시행착오법으로 조성을 조정하였는데 본 실험에 사용된 시편은 X-선 조사 결과 다른 상들은 거의 존재하지 않았다. 합금을 공기중에서 분쇄하여 -100 + 200 Mesh의 시편 0.4 g을 반응용기에 넣어 실험하였다.

본 실험에서는 고압용 Sievert 장치를 사용하였고 반응용기는 가열, 냉각시간을 줄이기 위해서 구리튜브에 알루미늄 Blade를 붙여 사용하였고 칸탈

기다린 다음 진공으로 수소를 방출시켰다. 첫번째 수소흡수시는 매우 느리지만 두번째는 상당히 빨라졌다. 이후부터 thermal cycling 실험조건은 표 1과 같다.

Table 1. Thermal cycling condition of Mg₂Cu

Time for absorption	: 30 min
Time for desorption	: 30 min
Range of pressure	: 17.5 + 1.5 atm
Range of temperature	: 573 – 663°K
Time for heating (573 – 663°K)	: 3 min
Time for cooling (663 – 573°K)	: 3 min

선을 열선으로 사용하였다. 이로 말미암아 급속한 가열이 가능하였다. 반응정도는 장치내의 수소압력 변화를 스트레인 게이지형 pressure transducer를 사용하였다.

초기 활성화 단계의 반복횟수를 줄이기 위해 먼저 400°C에서 약 1시간동안 진공으로 냅은 다음 45 atm으로 수소압력을 가하여 반응이 완료될 때까지 유지시킨다.

그리고 cycle 후 thermal analysis의 경우, 먼저 수소화반응을 충분히 시킨 다음 반응용기의 온도를 상온으로 천천히 냉각시킨다. 그후 장치내의 압력을 0.1 atm 까지 낮추고 linear heating을 시작하였다. 이때 linear heating은 temperature programer (RKC PC-962 Model)을 사용하였다. 어느 온도 이상이 되면 수소의 방출이 시작되면서 실험장치내의 압력이 증가되기 시작한다. 장치내의 압력이 0.2 atm에 도달하면 진공장치내로 통하는 벨브를 열어 장치의 압력이 0.1 atm이 되면 벨브를 다시 잠근다. 다시 장치의 압력이 증가하여 2 atm에 도달하면 다시 벨브를 열어주는 조작을 수소의 방출이 끝날 때 까지 반복한다. 이때 방출속도는 다음과 같이 구하였다.

$$\text{방출속도} = \frac{0.0115 \text{ H/M}}{\text{장치의 압력이 } 0.1 \text{ atm에서} \\ 0.2 \text{ atm 까지 증가하는데 소요된 시간}}$$

3. 실험결과

그림 1과 2에 thermal cycling 동안 수소흡수, 방출 횟수에 따른 수소흡수 속도와 방출속도를 각각 나타내었다.

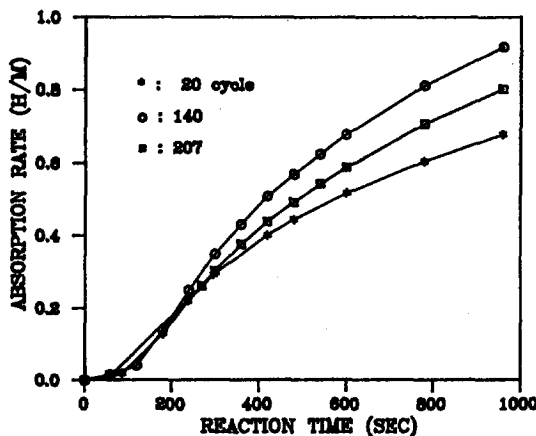


Fig. 1. The variation of the absorption rate by the absorption-desorption cycle at 573°K.

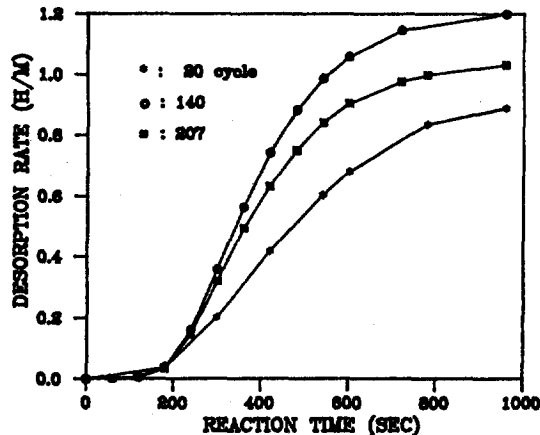


Fig. 2. The variation of the desorption rate by the absorption-desorption cycle at 663°K.

그림에서 알 수 있는 것은 수소 흡수, 방출 cycle에 따라 처음에는 반응속도가 증가하다가 감소하는 것을 알 수 있다. 뿐만 아니라 수소흡수반응속도가 느려서 30분 동안에는 자신의 수소저장능력만큼 수소를 흡수하지 못하는 것과 수소방출속도는 흡수속

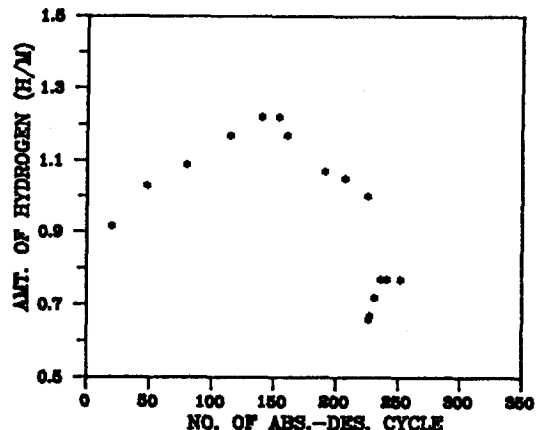


Fig. 3. The variation of the amount of hydrogen absorbed by the thermal cycle.

도보다 빠르다는 것을 알 수 있다. 또한 항상 30분전에 수소방출반응이 완료되는 것을 알 수 있다. 이것은 흡수된 수소중에서 방출될 수 있는 것은 모두 방출되는 것을 의미한다. 수소 흡수, 방출 cycle에 따라 30분동안 흡수된 수소의 양의 변화를 그림 3에 나타내었다.

수소 흡수, 방출 Cycle에 따른 수소의 흡수속도 거동은 크게 3 단계로 나눌 수 있다.

첫째 : cycle에 따라 반응속도가 증가하는 단계

둘째 : cycle에 따라 반응속도가 변하지 않는 단계

셋째 : cycle에 따라 반응속도가 감소하는 단계

반응속도가 증가하는 첫번째단계는 활성화단계이다. 수소화반응의 active site는 Cu cluster와 clean Mg₂Cu 등이라고 일반적으로 알려져 있다. 수소흡수, 방출 cycle이 계속되면 흡수, 방출시 약 25%의 부피 변화때문에 시편이 깨어지기 시작해서 cycle에 따라 Cu cluster와 clean Mg₂Cu가 많아져서 반응속도가 증가하게 된다. 특히 Cu cluster는 Gibbs가 예측했던 것처럼 합금의 표면에서 성분원소의 표면장력 차이 때문에 표면장력이 작은 원소가 우선적으로 편석(surface segregation)되려는 경향때문에 생기는 것으로 Schlapach 등¹⁰⁾이 초진공 (1×10^{-7} Torr) 장치에서 Mg₂Cu 막대기를 파괴시킨 후 X-ray Photoemission Spectroscopy로 표면을 조사한 결과 이를 확인하

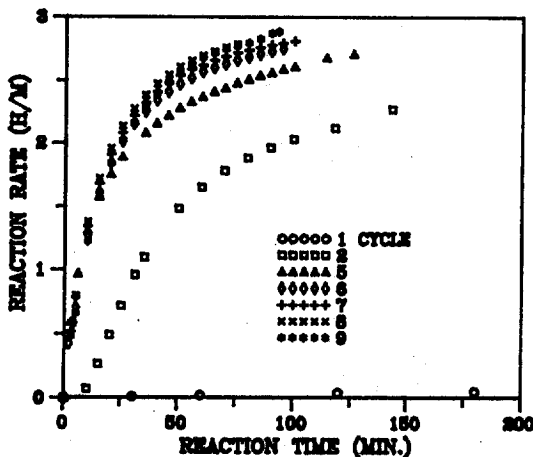


Fig. 4. The change of reaction rate by the absorption cycle.

였으며 산소에 노출시킨 후 AES로 조사한 결과 편석은 더욱 촉진됨을 알았다.

그림 4에서 볼 수 있듯이 수소 흡수, 방출시 매번 새로운 수소를 사용하는 경우 불순가스 특히 산소 가스가 있는 경우 약 10회면 활성화가 완료되었지만 본 실험에서처럼 처음 사용한 수소로 계속 반복하는 경우 활성화는 거의 120~130 cycle 후에야 완료되는 것을 알 수 있다.

두 번째 단계로써 그림 3에서 볼 때 130~150 cycle에서는 반응속도가 거의 변하지 않는 것을 알 수 있다. 이 단계에서는 활성화가 끝난 단계에서 degradation이 시작되기 전임을 알 수 있다.

세 번째 단계는 degradation 단계이다. 이 단계는 여러 가지 원인이 있을 수 있다. cycle를 계속하는 동안 수소저장능력이 감소되어 전체반응속도가 느려질 수 있거나 아니면 다른 원인으로 수소저장능력은 변화가 없으나 수소흡수속도만 단순히 느려질 경우가 있다. 그런데 cycle를 계속하는 동안 장치 내 압력이 계속 조금씩 감소되는 것을 관찰할 수 있었다. 이것은 안정한 Hydride 상이 형성됨을 예측 할 수 있다. 즉 수소저장능력이 감소되기 때문인 것이다. 또한 반응속도도 함께 감소할 수 있다. 실험 조건에서는 MgH₂는 분해되지 않는다. 그러므로 안정한 hydride가 MgH₂라고 가정할 수 있다. 이러한 가정을 확인하기 위해서 수소흡수, 방출실험

을 마치고 thermal analysis T.A.를 행하였다. 그 결과 안정한 MgH₂ hydride가 형성된 것을 확인하였다.

I. degradation 후의 Thermal Analysis(T.A.) Cohen 등은 degradation을 안정한 Hydride 형식으로 설명하였는데 본 실험에서는 안정한 Hydride의 존재여부를 조사하기 위해 수소 흡수, 방출실험을 끝낸 뒤에 T.A. 실험을 행하였다. 상태도¹¹⁾에서 살펴보면 Mg-Cu계에서는 형성 가능한 금속은 Mg, MgCu₂, Mg₂Cu, Cu 등이 있으나 본 실험 조건에서는 MgCu₂, Cu는 hydride를 형성하지 않는다. 그러면 Mg₂Cu계 외 hydride가 존재한다면 MgH₂hydride일 것이다. 그런데 Mg₂Cu계에서 분해 가능한 MgH₂가 존재한다면 실제 그 수소저장 능력은 증가할 것이다. 왜냐하면 Mg₂Cu는 (1)식과 같이 반응하기 때문에 Mg 1개의 원자당 1.5개의 수소원자와 결합하지만 Mg₂Cu에서 Mg-rich 부분이 많아져서 다음식과 같은 반응이 일어난다면



Mg 1개의 원자당 2개의 수소원자와 결합하기 때문에 사실상 수소저장능력은 증가한다. 그러나 실험 조건에서는 MgH₂가 분해되지 않으므로 가역적인 저장능력은 감소하게 될 것이다. 그러므로 안정한 hydride 존재여부를 조사하는 것은 degradation mechanism을 밝히는 데 중요한 연구가 된다.

252 cycle를 끝낸 시편을 desorption 반응을 완료한 뒤 약 20분간 진공 처리하고 573K에서 20기압으로 14시간 동안 Hydride시키고 계산한 결과 H/M이 4.4에 해당되었다. 이것의 T.A. 결과를 그림 5에 나타내었다.

첫 번째 T.A. 한 결과는 2개의 peak이 나타났다. 첫 번째 peak은 약 603K에서, 두 번째 peak은 660K에서 나타났다. 두 번째 T.A.는 573K에서 20기압으로 4시간 동안 Hydride시킨 후 T.A. 한 결과로써 660K의 peak은 사라지고 603K의 peak은 조금 커지는 것을 알 수 있다. 3번째 T.A.는 573K에서 14시간 동안 T.A. 한 결과이다. 이러한 peak들이 어떤 Hydride가 분해되어 생긴 것인지 확인하기 위하여 새로운 시편을 충분히 활성화시킨 다음

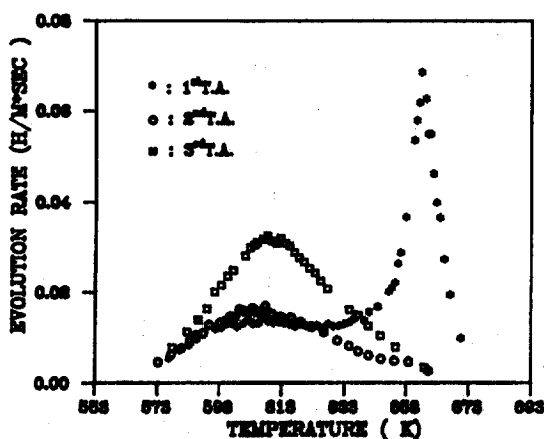


Fig. 5. Thermal analysis of degraded Mg_2Cu hydride at $3^{\circ}K/min$ heating rate.

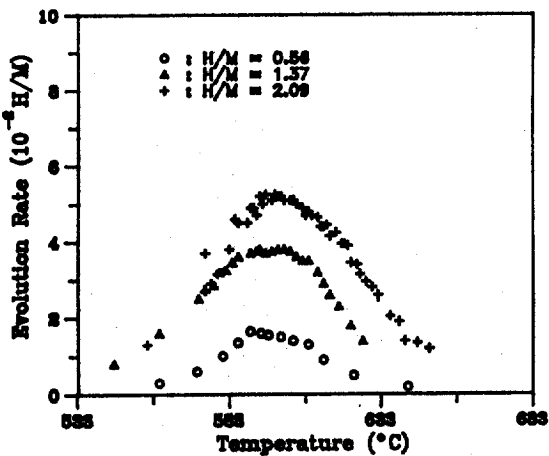


Fig. 6. Thermal analysis of Mg_2Cu hydride at $3^{\circ}K/min$ heating rate.

$573^{\circ}K$ 에서 원하는 H/M 까지 수소를 주입한 다음 T.A. 를 행한 결과를 그림 6에 나타내었다.

그림 6에서 볼 때 그림 5의 $603^{\circ}K$ 의 peak 은 (1)식의 분해반응임을 알 수 있다. 그리고 $660^{\circ}K$ 의 peak 은, 한 과 이¹²⁾ 가 행한 MgH_2 의 T.A. 실험 결과를 볼 때 (2)식의 분해반응임을 알 수 있다. 이 두번째 peak 은 수소흡수, 방출 Cycle 동안에 안정한 MgH_2 hydride 가 형성되었음을 나타낸 것이었다. 그리고 두번째, 세번째 T.A. 에서는 MgH_2 peak 은 더이상 생기지 않았고 Mg_2Cu hydride

peak 만 생김을 알 수 있다. 즉 degradation 된 것은 vacuum에서 annealing 처리하면 거의 회복됨을 알 수 있다.

II. Annealing 처리가 degradation에 미치는 영향

Annealing 처리가 degradation에 미치는 영향을 조사하기 위해 225 cycle 후에 $693^{\circ}K$ 에서 수소압력은 16 atm으로 2일동안 열처리하였다. 그후 계속해서 cycle 을 행하였다. 그 결과는 그림 3의 225 cycle 후의 부분에 나타내었다. 열처리후 반응속도는 급격히 감소하였다. cycle 을 계속하면 반응속도는 점차 증가하다가 반응속도가 일정하게 되는 것을 알 수 있다.

열처리에 의해 반응속도가 감소된 것은 열처리 동안 수소 흡수-방출은 일어나지 않고 MgH_2 가 형성될 수 있는 조건이 갖추어져서 가역적인 수소 저장능력이 감소되었기 때문이라고 생각된다. 뿐만 아니라 Mg_2Cu 의 수소흡수시의 반응율 속 단계가 Mg_2Ni 처럼 표면반응이라면¹³⁾, 열처리 동안 표면 에너지를 낮추기 위해 표면확산이 일어나서 표면이 smooth 해지며 또한 입자간의 coalescence 등으로 표면적이 감소되기 때문에 반응속도가 감소되는 데 영향을 미쳤을 것으로 사료된다. annealing 처리로 급격히 감소된 반응 속도는 cycling에 따라 반응속도는 점차 증가하는 것을 볼 수 있는데 이것은 여전히 수소 흡수 방출에 따른 부피팽창에 의한 crack 이 생성되는 것을 의미한다. 어느 정도부터는 cycle 를 계속해도 degradation 은 더 이상은 진행되지 않고 있음을 알 수 있다. 이것은 수소흡수, 방출시 안정한 MgH_2 hydride 가 더이상 형성되지 아니할 뿐 아니라 crack 생성으로 표면을 active 하게 하며 active site 를 증가시켜 주는 것과 표면확산과 입자간의 coalescence 로 active site 를 감소시키는 평형에 도달하였기 때문으로 사료된다. 이를 통해서 볼 때 Mg_2Cu 에서 degradation 은 한계가 존재하며 degradation 은 MgH_2 라는 안정한 hydride 형성이 주원인이며 표면확산과 입자간의 coalescence 로 active site 를 감소시킴으로써 반응속도도 감소되는 현상으로 사료된다.

III. SEM 사진조사

사진 1은 반응전의 시편 Mg_2Cu 의 표면을 조사한 것으로 벽면파면을 볼 수 있다. 사진 2는 수소흡



Photo. 1 Surface morphology of Mg_2Cu before reaction.



Photo. 3 Surface morphology of Mg_2Cu after 35 cycle.

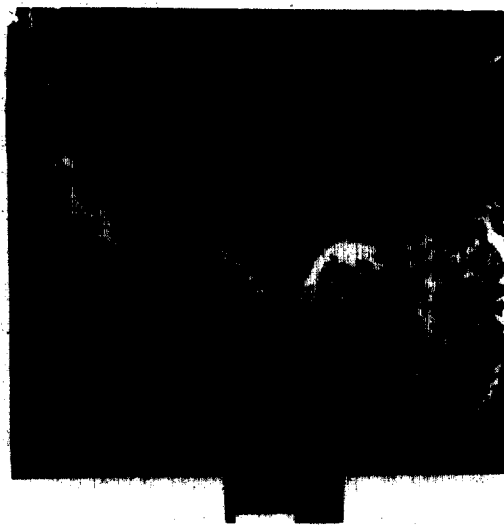


Photo. 2 Microstructure of Mg_2Cu after 35 cycle.



Photo. 4 Surface morphology of Mg_2Cu after 252 cycle.

수방출 반응을 35회 반복하고 난 뒤의 사진이다. 반응전의 시편에 비해 크기가 감소되었을 뿐만 아니라 무수한 crack 을 볼 수 있다. 사진 3은 사진 2를 확대한 것으로 FeTi 등의 crack 과는 다른 것으로 표면이 매끄러운 것을 볼 수 있다. 표면에너지를 낮추기 위해 표면확산이 일어난 것을 알 수 있다.

모든 degradation 실험을 마친뒤에 조사한 것을 사진 4에 나타내었다.

표면확산 뿐만 입자간의 coalescence 가 일어난 것을 알 수 있다. 여러군데에서 neck 을 발견할 수 있고 덩어리는 커진 것을 알 수 있다. 이러한 이유로 반응속도도 느려졌을 것으로 생각할 수 있다. 즉

degradation 된 것은 안정한 hydride 형성으로 수소저장 용량이 감소되었을 뿐만 아니라 표면조건의 변화로 반응속도의 감소도 일어난 것으로 생각된다.

4. 결 론

Mg₂Cu 를 563 K - 663 K 에서 thermal cycle 한 결과 cycle 를 반복할 수록 초기는 반응속도가 증가 했지만 약 120 cycle 부터 150 cycle 까지는 변화가 없었으며 그 이후는 반응속도가 계속 감소하다가 일정하게 되었다. 즉 degradation 은 한계가 있는 것으로 나타났다.

693K 에서 16 atm 의 수소압력으로 2일 동안 열처리한 결과 degradation 매우 심하게 일어났다. Degradation 된 시편을 thermal analysis 한 결과 MgH₂ peak 을 발견하였다.

Mg₂Cu 의 수소 흡수-방출 cycle 에 따른 degradation 의 주원인은 안정한 MgH₂ hydride 의 형성이었으며 입자간의 coalescence 와 표면확산으로 말미암은 표면 상태변화로 말미암은 반응속도의 감소도 그 영향을 미친것으로 사료된다.

후 기

본 연구는 1988 년도 한국과학재단의 연구비지원으로 이루어졌으며 이에 감사드립니다.
(883-602-007-2)

참 고 문 헌

1. R.L. Cohen, K.W. West, and K.H.J. Bushow,

Solid State Comm., 25 (1978) 293.

2. T. Gamo, Y. Moriwaki, N. Yanagihara and T. Iwaki, J. Less-Common Met., 89 (1983) 495.
3. Jong-Man Park, M.A. Thesis in KAIST (1985).
4. R.L. Cohen, K.W. West and J.H. Wernick, J. Less-Common Met. 73 (1980) 273.
5. R.L. Cohen, K.W. West and J.H. Wernick, J. Less-Common Met. 73 (1980) 273.
6. R.L. Cohen, K.W. West and J.H. Wernick, J. Less-Common Met. 95 (1980) 17.
7. P.D. Godell, J. Less-Common Met. 99 (1984) 1.
8. Jeong-Seb Han and Jai-Young Lee, 133 (1987) 201.
9. J.J. Reilly and R.H. Wiswall, Inorg. Chem., 6 (1967) 2220.
10. A. Seiler, L. Schlapach, Th. Von Waldkirch, D. Shaltiel and F. Stucki, J. Less-Common Met. 73 (1980) 193.
11. Smithells metals reference book, Eric A Brandes (Ed.) Butterworths (1983) 223.
12. J.S. Han, M. Pezat and Jai-Young Lee, Scr. Metall., 20 (1986) 951.
13. J.S. Han and Jai-Young Lee, J. Less-Common Met. 131 (1987) 101.